#### Technische Universität Wien

Institut für Automatisierungs- und Regelungstechnik

# SCHRIFTLICHE PRÜFUNG zur VU Modellbildung (Stoffsemester 2020S) am 27.08.2020

Arbeitszeit: 150 min

Name:

Vorname(n):

Matrikelnummer:

Hörsaal/Sitzplatznummer:

Note:

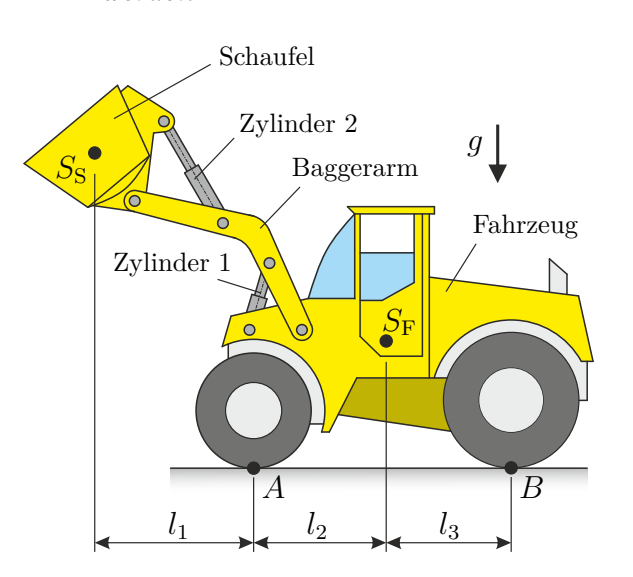
Aufgabe	1	2	3	$\sum$
erreichbare Punkte	12	15	13	40
erreichte Punkte				

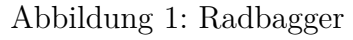
#### Bitte ...

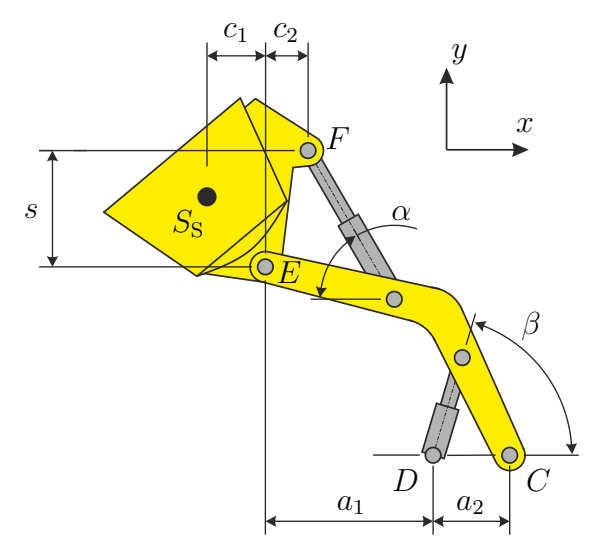
- ... tragen Sie Name, Vorname und Matrikelnummer auf dem Deckblatt ein,
- .. rechnen Sie die Aufgaben auf separaten Blättern, nicht auf dem Angabeblatt,
- ... beginnen Sie für eine neue Aufgabe immer auch eine neue Seite,
- ... geben Sie auf jedem Blatt den Namen sowie die Matrikelnummer an und
- ... begründen Sie Ihre Antworten ausführlich.

1. Gegeben ist der Radbagger aus Abbildung 1. Dieser besteht aus dem eigentlichen Fahrzeug mit der Masse  $m_{\rm F}$  und dem Schwerpunkt  $S_{\rm F}$ , dem Baggerarm mit den Hydraulikzylindern 1 und 2, sowie der Baggerschaufel mit der Masse  $m_{\rm S}$  und dem Schwerpunkt  $S_{\rm S}$ . Der Baggerarm und die Hydraulikzylinder werden im Weiteren als masselos angesehen. Gehen Sie außerdem davon aus, dass die Hydraulikzylinder nur Zug- und Druckkräfte aufnehmen können.

**Hinweis:** Die Unterpunkte a), b), c) und d) können unabhängig voneinander gelöst werden.







12 P.

3 P.

 $3,5 \, P.$ 

Abbildung 2: Baggerarm mit Schaufel und Hydraulikzylindern.

- a) Berechnen Sie die maximal erlaubte Schaufelmasse  $m_{\rm S}$  um ein Kippen des Radladers zu verhindern. Schneiden Sie dazu das Gesamtsystem aus Abbildung 1 vom Boden frei und fertigen Sie eine Schnittskizze an. Schreiben Sie die entsprechenden Gleichgewichtsbedingungen explizit an.
- b) Berechnen Sie die Kraft  $f_D$  im Hydraulikzylinder 1 sowie die Komponenten  $f_{C,x}$ ,  $f_{C,y}$  der Schnittkraft im Drehpunkt C. Schneiden Sie dazu den Baggerarm mit Schaufel und Hydraulikzylinder aus Abbildung 2 vom Fahrzeug frei und fertigen Sie eine Schnittskizze an. Schreiben Sie die entsprechenden Gleichgewichtsbedingungen explizit an. Die Reibung in den Drehachsen kann dabei vernachlässigt werden.
- c) Im Drehgelenk E tritt ein Haftreibmoment mit dem Betrag  $\tau_{\rm R}$  auf. Berechnen Sie den zulässigen Bereich  $[f_{\rm F,min},f_{\rm F,max}]$  der Kraft  $f_{\rm F}$  im Hydraulikzylinder 2 für den die Baggerschaufel im statischen Gleichgewicht ist. Schneiden Sie dazu die Schaufel frei und fertigen Sie eine Schnittskizze an. Schreiben Sie die entsprechenden Gleichgewichtsbedingungen explizit an.

Im Folgenden wird die leere Baggerschaufel mit der Masse  $m_{\rm L}$  aus Abbildung 3 mit Schotter der Dichte  $\rho_{\rm S}$  gefüllt. Dabei wird vereinfachend von einem quaderförmigem Inneren der Schaufel ausgegangen.

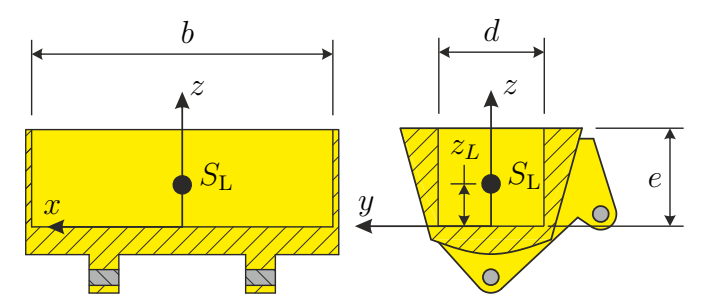


Abbildung 3: Leere Schaufel mit der Masse  $m_{\rm L}$ .

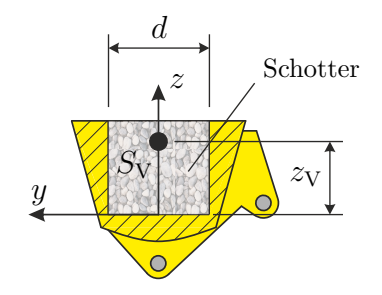


Abbildung 4: Volle Schaufel mit der Masse  $m_{\rm V}$ .

1 P.|

1 P.|

- d) Berechnen Sie die Masse  $m_{\rm V}$  der vollen Baggerschaufel aus Abbildung 4.
- e) Berechnen Sie die Lage  $z_{\rm V}$  des Schwerpunkts  $S_{\rm V}$  der vollen Baggerschaufel aus Abbildung 4.

### Lösung:

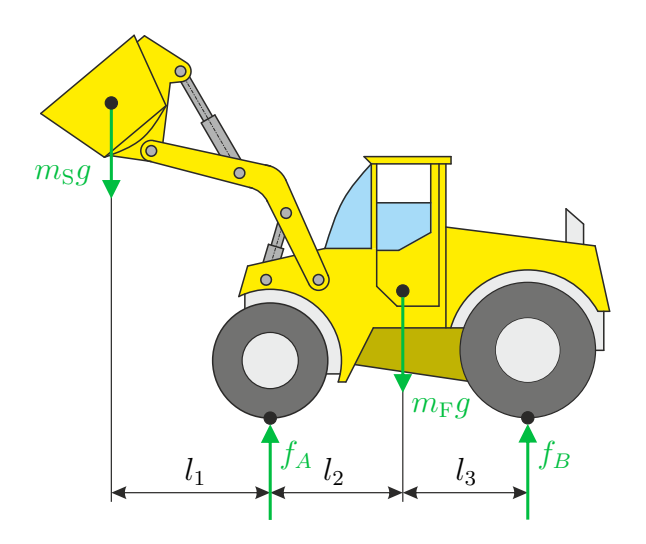


Abbildung 5: Freigeschnittener Radbagger

a) Beim Kippen des Baggers gilt  $f_B = 0$ . Mit dem Momentengleichgewicht um A folgt daraus

$$m_S \le m_F \frac{l_2}{l_1}.$$

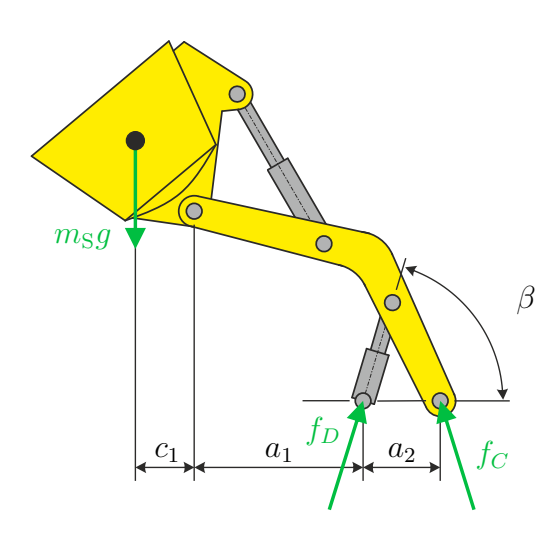


Abbildung 6: Freigeschnittener Baggerarm mit Schaufel und Hydraulikzylindern.

b) Kräftegleichgewicht:

$$\mathbf{e}_x: \qquad 0 = f_D \cos(\beta) - f_{C,x}$$

$$\mathbf{e}_y: \qquad 0 = f_D \sin(\beta) + f_{C,y} - m_S g$$

Momentengleichgewicht um D:

$$\mathbf{e}_z$$
:  $0 = m_{\rm S}g(c_1 + a_1) + f_{C,y}a_2$ 

$$f_{C,x} = \frac{m_{\rm S}g}{\tan(\beta)} \left( 1 + \frac{(c_1 + a_1)}{a_2} \right), \quad f_{C,y} = -\frac{m_{\rm S}g(c_1 + a_1)}{a_2}, \quad f_D = \frac{m_{\rm S}g}{\sin(\beta)} \left( 1 + \frac{(c_1 + a_1)}{a_2} \right).$$

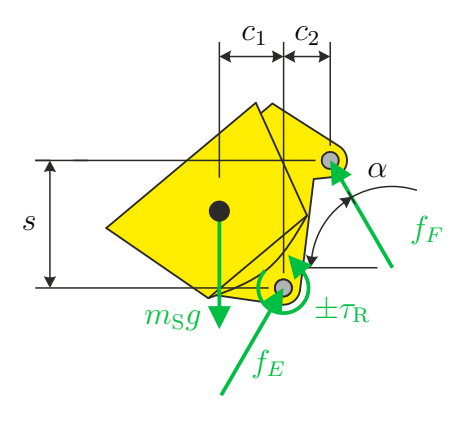


Abbildung 7: Freigeschnittene Baggerschaufel mit Reibmoment  $\tau_{\rm R}.$ 

# c) Kräftegleichgewicht:

$$\mathbf{e}_x: \qquad \qquad 0 = f_{E,x} - f_F \cos(\alpha)$$

$$\mathbf{e}_x$$
: 
$$0 = f_{E,x} - f_F \cos(\alpha)$$

$$\mathbf{e}_y$$
: 
$$0 = f_{E,y} + f_F \sin(\alpha) - m_S g$$

Momentengleichgewicht um E:

$$\mathbf{e}_z$$
: 
$$0 = m_{\rm S} g c_1 + f_F \cos(\alpha) s + f_F \sin(\alpha) c_2 \pm \tau_{\rm R}$$

$$f_{F,min} = \frac{-m_{\rm S}gc_1 - \tau_{\rm R}}{\cos(\alpha)s + \sin(\alpha)c_2} \qquad f_{F,max} = \frac{-m_{\rm S}gc_1 + \tau_{\rm R}}{\cos(\alpha)s + \sin(\alpha)c_2}$$

d)

$$m_{\rm V} = m_{\rm L} + \rho_{\rm S} b de$$

e)

$$z_{\rm V} = \frac{m_{\rm L}}{m_{\rm L} + \rho_{\rm S} b de} z_{\rm L} + \frac{\rho_{\rm S} b de}{m_{\rm L} + \rho_{\rm S} b de} \frac{e}{2}$$

2. Gegeben ist der Kran mit zwei translatorischen und einem rotatorischen Gelenk nach Abbildung 8. In der (variablen) Höhe h in  $z_0$ -Richtung befindet sich die Kabine mit Schwerpunkt  $S_1$  und Masse  $m_1$ , an der ein Arm der Länge L mit Schwerpunkt  $S_2$  bei  $\frac{L}{2}$  und Masse  $m_2$  befestigt ist. Ein identischer Arm mit Schwerpunkt  $S_3$  ist in x-Richtung verschiebbar damit verbunden und trägt an seinem Ende  $S_4$  die Last mit Masse  $m_l$ . Die Kabine, beide Arme sowie die Last sind auf einer Höhe anzusehen. Die Trägheitsmatrix der Kabine  $\mathbf{I}_1 = \mathrm{diag}\left(\left[I_{1,xx} \quad I_{1,yy} \quad I_{1,zz}\right]\right)$  und jene der beiden Arme  $\mathbf{I}_2 = \mathbf{I}_3 = \mathrm{diag}\left(\left[0 \quad m_2 \frac{L^2}{12} \quad m_2 \frac{L^2}{12}\right]\right)$  ist bekannt und das Trägheitsmoment der Last ist vernachlässigbar.

15 P.

Die Kabine ist gegenüber dem Inertialsystem  $0_0x_0y_0z_0$  um den Winkel  $\varphi$  rotiert. Die Verschiebung k des zweiten Arms entspricht der Entfernung von  $S_2$  und  $S_3$ . Die Erdbeschleunigung g wirkt in negativer  $z_0$ -Richtung.

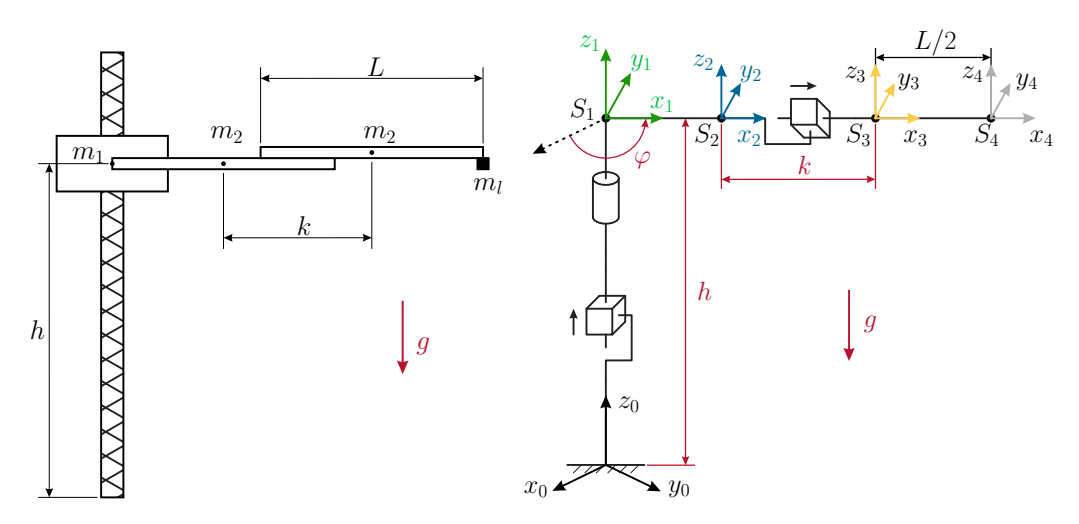


Abbildung 8: Darstellung des Starrkörpersystems.

Das System soll in den generalisierten Koordinaten  $\mathbf{q} = \begin{bmatrix} h & \varphi & k \end{bmatrix}^T$  beschrieben werden. Bearbeiten Sie folgende Punkte:

- a) Geben Sie die homogenen Transformationen  $\mathbf{H}_0^1$ ,  $\mathbf{H}_1^2$ ,  $\mathbf{H}_2^3$ ,  $\mathbf{H}_3^4$  zwischen den Koordinatensystemen in den jeweiligen Schwerpunkten und  $\mathbf{H}_0^2$ ,  $\mathbf{H}_0^3$  und  $\mathbf{H}_0^4$  zwischen dem Ursprung und den Koordinatensystemen an.
- b) Geben Sie die zugehörigen Manipulator-Jacobi-Matrizen  $(\mathbf{J}_{\mathbf{v}})_0^i$ ,  $i=1,\ldots,4$  der Schwerpunkte und die für alle Schwerpunkte identische Manipulator-Jacobi-Matrix der Winkelgeschwindigkeiten  $(\mathbf{J}_{\boldsymbol{\omega}})_0^i$  an.
- c) Berechnen Sie die Massenmatrix  $\mathbf{M}(\mathbf{q})$  aus den zu den Starrkörpern i gehörigen 3,5 P.| Komponenten  $\mathbf{M}_i(\mathbf{q}), i = 1, \dots, 4$ .
- d) Geben Sie die potentielle Energie  $V(\mathbf{q})$  an. 0,5 P.|
- e) Im Punkt  $S_4$  greift die Kraft  $\mathbf{f}_s = \begin{bmatrix} f_{s,x} & f_{s,y} & f_{s,z} \end{bmatrix}^T$  in  $0_4x_4y_4z_4$ -Koordinaten an. 2 P.|

  Berechnen Sie die verallgemeinerten Kräfte  $-\mathbf{f}_q = -\begin{bmatrix} f_{q,h}, & f_{q,\varphi}, & f_{q,k} \end{bmatrix}^T$  in den einzelnen Gelenken, damit der Kran trotz Potentialkräften und der Störkraft in Ruhe bleibt.

Lösung:

$$\mathbf{H}_{0}^{1} = \begin{bmatrix} c_{\varphi} & -s_{\varphi} & 0 & 0 \\ s_{\varphi} & c_{\varphi} & 0 & 0 \\ 0 & 0 & 1 & h \\ 0 & 0 & 0 & 1 \end{bmatrix}, \qquad \mathbf{H}_{1}^{2} = \begin{bmatrix} 1 & 0 & 0 & \frac{L}{2} \\ 0 & 1 & 0 & 0 \\ 0 & 0 & 1 & 0 \\ 0 & 0 & 0 & 1 \end{bmatrix}, \qquad \mathbf{H}_{2}^{3} = \begin{bmatrix} 1 & 0 & 0 & k \\ 0 & 1 & 0 & 0 \\ 0 & 0 & 1 & 0 \\ 0 & 0 & 0 & 1 \end{bmatrix},$$

$$\mathbf{H}_{3}^{4} = \begin{bmatrix} 1 & 0 & 0 & \frac{L}{2} \\ 0 & 1 & 0 & 0 \\ 0 & 0 & 1 & 0 \\ 0 & 0 & 0 & 1 \end{bmatrix}, \qquad \mathbf{H}_{0}^{2} = \begin{bmatrix} c_{\varphi} & -s_{\varphi} & 0 & c_{\varphi} \frac{L}{2} \\ s_{\varphi} & c_{\varphi} & 0 & s_{\varphi} \frac{L}{2} \\ 0 & 0 & 1 & h \\ 0 & 0 & 0 & 1 \end{bmatrix},$$

$$\mathbf{H}_{0}^{3} = \begin{bmatrix} c_{\varphi} & -s_{\varphi} & 0 & c_{\varphi} \left(\frac{L}{2} + k\right) \\ s_{\varphi} & c_{\varphi} & 0 & s_{\varphi} \left(\frac{L}{2} + k\right) \\ 0 & 0 & 1 & h \\ 0 & 0 & 0 & 1 \end{bmatrix},$$

$$\mathbf{H}_0^4 = egin{bmatrix} c_{arphi} & -s_{arphi} & 0 & c_{arphi}(L+k) \ s_{arphi} & c_{arphi} & 0 & s_{arphi}(L+k) \ 0 & 0 & 1 & h \ 0 & 0 & 0 & 1 \end{bmatrix}$$

$$(\mathbf{J}_{\mathbf{v}})_{0}^{1} = \begin{bmatrix} 0 & 0 & 0 \\ 0 & 0 & 0 \\ 1 & 0 & 0 \end{bmatrix}, \qquad (\mathbf{J}_{\mathbf{v}})_{0}^{2} = \begin{bmatrix} 0 & -s_{\varphi} \frac{L}{2} & 0 \\ 0 & c_{\varphi} \frac{L}{2} & 0 \\ 1 & 0 & 0 \end{bmatrix}$$

$$(\mathbf{J}_{\mathbf{v}})_{0}^{3} = \begin{bmatrix} 0 & -s_{\varphi} \left(\frac{L}{2} + k\right) & c_{\varphi} \\ 0 & c_{\varphi} \left(\frac{L}{2} + k\right) & s_{\varphi} \\ 1 & 0 & 0 \end{bmatrix}, \qquad (\mathbf{J}_{\mathbf{v}})_{0}^{4} = \begin{bmatrix} 0 & -s_{\varphi} (L + k) & c_{\varphi} \\ 0 & c_{\varphi} (L + k) & s_{\varphi} \\ 1 & 0 & 0 \end{bmatrix}$$

$$(\mathbf{J}_{\mathbf{\omega}})_{0}^{i} = \begin{bmatrix} 0 & 0 & 0 \\ 0 & 0 & 0 \\ 0 & 1 & 0 \end{bmatrix}$$

c)

$$\begin{split} \mathbf{M}_{i}(\mathbf{q}) &= m_{i} \Big( (\mathbf{J}_{\mathbf{v}})_{0}^{i} \Big)^{T} (\mathbf{J}_{\mathbf{v}})_{0}^{i} + \Big( (\mathbf{J}_{\omega})_{0}^{i} \Big)^{T} \mathbf{I}_{i} (\mathbf{J}_{\omega})_{0}^{i} \\ \mathbf{M}_{1}(\mathbf{q}) &= \begin{bmatrix} m_{1} & 0 & 0 \\ 0 & 0 & 0 \\ 0 & 0 & 0 \end{bmatrix} + \begin{bmatrix} 0 & 0 & 0 \\ 0 & I_{1,zz} & 0 \\ 0 & 0 & 0 \end{bmatrix} = \begin{bmatrix} m_{1} & 0 & 0 \\ 0 & I_{1,zz} & 0 \\ 0 & 0 & 0 \end{bmatrix} \\ \mathbf{M}_{2}(\mathbf{q}) &= \begin{bmatrix} m_{2} & 0 & 0 \\ 0 & m_{2} \frac{L^{2}}{4} & 0 \\ 0 & 0 & 0 \end{bmatrix} + \begin{bmatrix} 0 & 0 & 0 \\ 0 & m_{2} \frac{L^{2}}{12} & 0 \\ 0 & 0 & 0 \end{bmatrix} = \begin{bmatrix} m_{2} & 0 & 0 \\ 0 & m_{2} \left( \frac{L^{2}}{12} + \frac{L^{2}}{4} \right) & 0 \\ 0 & 0 & 0 \end{bmatrix} \\ \mathbf{M}_{3}(\mathbf{q}) &= \begin{bmatrix} m_{2} & 0 & 0 \\ 0 & m_{2} \left( \frac{L}{2} + k \right)^{2} & 0 \\ 0 & 0 & m_{2} \right] + \begin{bmatrix} 0 & 0 & 0 \\ 0 & m_{2} \frac{L^{2}}{12} & 0 \\ 0 & 0 & 0 \end{bmatrix} \\ \mathbf{M}_{4}(\mathbf{q}) &= \begin{bmatrix} m_{l} & 0 & 0 \\ 0 & m_{l} (L + k)^{2} & 0 \\ 0 & 0 & m_{l} \end{bmatrix} \\ \mathbf{M}(\mathbf{q}) &= \begin{bmatrix} m_{1} + 2m_{2} + m_{l} & 0 & 0 \\ 0 & I_{1,zz} + m_{2} \left( \frac{5L^{2}}{12} + \left( \frac{L}{2} + k \right)^{2} \right) + m_{l} (L + k)^{2} & 0 \\ 0 & 0 & m_{l} + m_{l} \end{bmatrix} \end{split}$$

d)

$$V(h) = (m_1 + 2m_2 + m_l)gh$$

e)

$$\mathbf{f}_{q} = \left( (\mathbf{J}_{\mathbf{v}})_{0}^{4} \right)^{T} \mathbf{R}_{0}^{4} \, \mathbf{f}_{s} - \frac{\partial V(\mathbf{q})}{\partial \mathbf{q}}$$
$$-\mathbf{f}_{q} = - \begin{bmatrix} f_{z} - (m_{1} + 2m_{2} + m_{l})g \\ (L+k)f_{y} \\ f_{x} \end{bmatrix}$$

3. Nachfolgend wird der Wasserskifahrer aus Abbildung 9 betrachtet. Dieser wird durch ein Boot mit der Seilkraft  $f_B(t)$  durch das Wasser gezogen. Dabei erfährt er die Widerstandskraft  $f_w(t) = \mu_v v(t)$  mit der Konstante  $\mu_v > 0$  sowie der Geschwindigkeit  $v(t) = \dot{x}(t)$ . Zum Zeitpunkt t = 0 soll im Weiteren x(0) = 0,  $\dot{x}(0) = 0$  gelten. Der Wasserskifahrer kann in allen Unterpunkten als Punktmasse betrachtet werden.

13 P.

**Hinweis:** Die Unterpunkte d) und e) können unabhängig voneinander und von a)-c) gelöst werden.

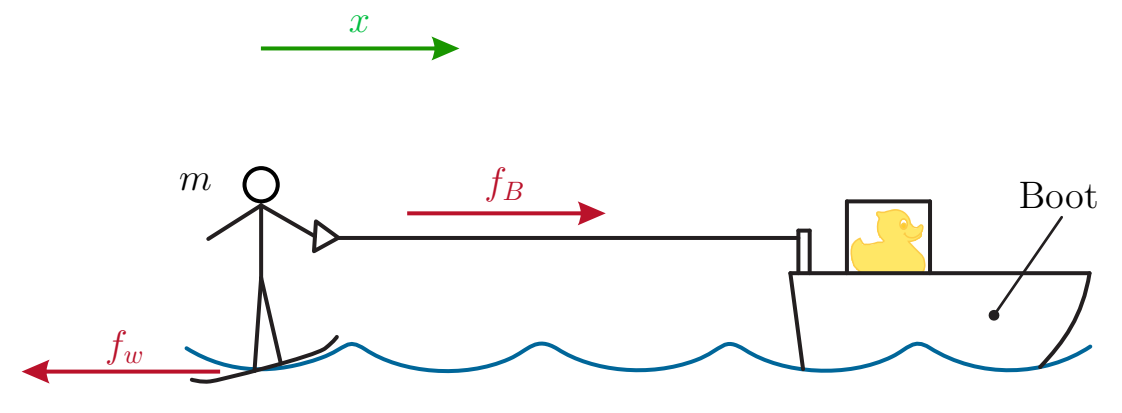


Abbildung 9: Wasserskifahrer.

- a) Für  $t \in [0, t_1)$  wird der Wasserskifahrer mit der konstanten Kraft  $f_B(t) = f_1 > 0$  durch das Wasser gezogen. Berechnen Sie die theoretische Endgeschwindigkeit  $v_{\infty}$  für  $t_1 \to \infty$  sowie den Verlauf der Geschwindigkeit für  $t \in [0, t_1)$ .
- b) Für  $t \in [t_1, t_2)$  wird die Geschwindigkeit bei  $v(t) = v(t_1) = v_1$  konstant gehalten. Bestimmen Sie  $f_B(t)$  und  $f_w(t)$  für diesen Zeitraum.
- c) Bestimmen Sie die maximal zulässige Verzögerung/Abbremsung  $|\dot{v}_{B,c}(t)|$  des 2 P.| Bootes, bei der das Seil noch gespannt bleibt.

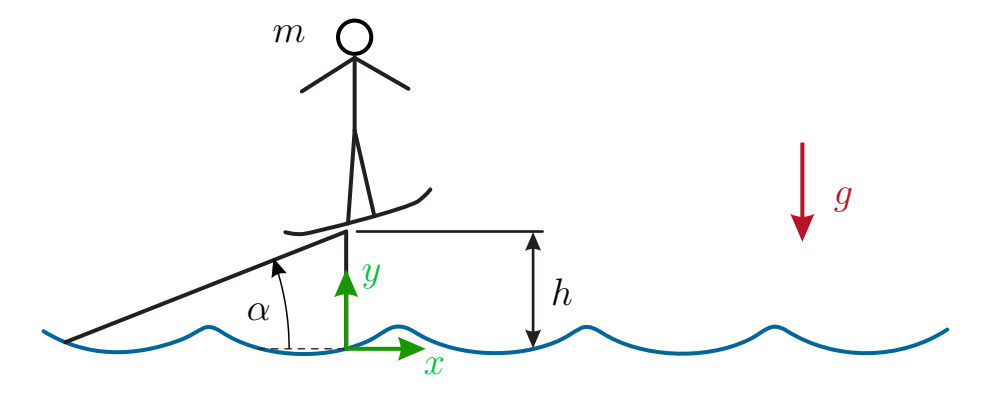


Abbildung 10: Sprungschanze mit Wasserskifahrer.

Zum Zeitpunkt  $t_2$  fährt der Wasserskifahrer über die Sprungschanze aus Abbildung 10 und lässt das Seil los. Für diese Aufgabe wird die Bewegung zweidimensional betrachtet. Es wirkt die Erdbeschleunigung g in negativer g-Richtung. Der Neigungswinkel der Schanze beträgt g- und ihre Höhe über dem Wasser ist g- Der Wasserskifahrer wird weiter als Punktmasse angesehen. Zu Beginn des Sprunges ist die g-Komponente seiner Geschwindigkeit mit g- g- g- g- bekannt.

d) Berechnen Sie die Dauer  $\Delta t$  des Sprunges, bis der Wasserskifahrer wieder die Wasseroberfläche berührt und in welcher Entfernung  $\Delta x$  von der Schanze er aufschlägt. Geben Sie außerdem die maximale Höhe  $\hat{y}$  an, die der Wasserskispringer während des Sprunges erreicht.



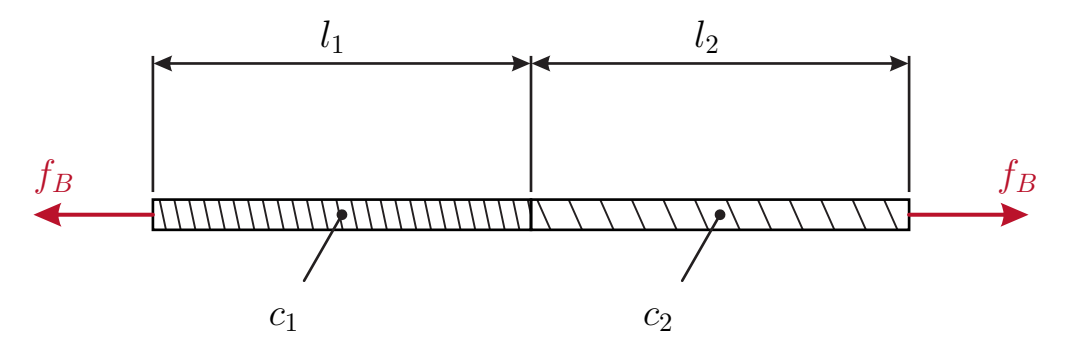


Abbildung 11: Zusammengesetztes Seil.

Nun wird das Seil aus zwei elastischen Teilstücken wie in Abbildung 11 betrachtet. Die Stücke mit entspannten Längen  $l_1$  und  $l_2$  besitzen die konstanten Federsteifigkeiten  $c_1$  und  $c_2$ .

e) Berechnen Sie die Federsteifigkeit  $c_g$  des zusammengesetzten Seils. 1 P.

Lösung:

$$\dot{v}(t) = \frac{f_B}{m} - \frac{\mu_v v(t)}{m}$$

$$v_{\infty} = \frac{f_B}{\mu_v}$$

$$v(t) = \frac{f_B}{\mu_v} + \left(v_0 - \frac{f_B}{\mu_v}\right) e^{-\frac{\mu_v}{m}(t - t_0)}, \qquad t \in [0, t_1)$$

$$v(t) = \frac{f_1}{\mu_v} \left(1 - e^{-\frac{\mu_v}{m}t}\right), \qquad t \in [0, t_1)$$

$$f_B(t) = f_w(t) = \mu_v v(t_1) = f_1 \left( 1 - e^{-\frac{\mu_v}{m}t_1} \right),$$
  $t \in [t_1, t_2)$ 

$$|\dot{v}_B(t)| \le \frac{f_w}{m}$$
$$|\dot{v}_{B,c}(t)| = \frac{\mu_v}{m} v(t)$$

## d)

$$\begin{aligned} v_x(t) &= v(t_2) \\ x &= v(t_2)(t-t_2) \\ v_y(t) &= v(t_2)\tan(\alpha) - g(t-t_2) \\ y &= h + v(t_2)\tan(\alpha)(t-t_2) - \frac{g}{2}(t-t_2)^2 \\ \Delta t &= \frac{v(t_2)\tan(\alpha)}{g} + \sqrt{\frac{v^2(t_2)\tan^2(\alpha)}{g^2} + \frac{2h}{g}} \\ \Delta x &= \frac{v^2(t_2)\tan(\alpha)}{g} \left(1 + \sqrt{1 + \frac{2gh}{v^2(t_2)\tan^2(\alpha)}}\right) \\ \hat{y} &= h + \frac{v^2(t_2)\tan^2(\alpha)}{2g} \end{aligned}$$

$$c_g = \frac{c_1 c_2}{c_1 + c_2}$$